

# 用无透镜傅里叶变换全息进行光学微分

冯 郁 芬

(陕西师范大学, 西安 710062)

**摘要:** 本文提出用无透镜傅里叶变换全息进行二阶光学微分的新方法, 文中给出理论分析及实验结果。

**关键词:** 光学微分, 无透镜傅里叶变换全息图, 离焦像

## Optical differentiation by lensless Fourier transform holograms

Feng Yufen

(Shanxi Teachers University, Xian 710062)

**Abstract:** This paper presents a new method of optical second order differentiation by lensless Fourier transform hologram. Theoretical analysis and experimental results are given.

**Key words:** optical differentiation, lensless Fourier transform hologram, defocused image

### 一、引言

光学微分的方法有两种, 第一种方法是在傅里叶变换平面上进行运算, 然后取反变换的方法, 即根据

$$F \frac{\partial'' g(x, y)}{\partial x''} = (i2\pi f_x)^n G(f_x, f_y) \quad (1)$$

在频谱平面上放置  $(i2\pi f_x)^n$  的空间滤波器可以得到二阶光学微分。

另一种方法是差分法,<sup>[1]</sup>, 即

$$\frac{\partial g(x, y)}{\partial x^2} = \lim_{\Delta \rightarrow 0} [g(x + \Delta, y) + g(x - \Delta, y) - 2g(x, y)] / \Delta \quad (2)$$

(2)式也说明光学微分可以用图像相减的方法来完成。本文提出用无透镜傅里叶变换全息可以进行图像相减和光学微分, 并指出物体的准确像与离焦像之差是二维二阶光学微分。

### 二、理论分析

无透镜傅里叶变换全息的光路如图1所示, 记录时物体与参考点源在同一平面上, 该平面

与全息图平面平行, 距离为  $z_1$ , 当用平面波  $\exp \frac{jk}{z_1} x_2 b$  照明全息图时, 在全息图后面距离  $z_1$  的  $P_s$  平面上会得到物光波的傅里叶变换, 如图 2 所示。在  $P_4$  平面上将得到输出像。

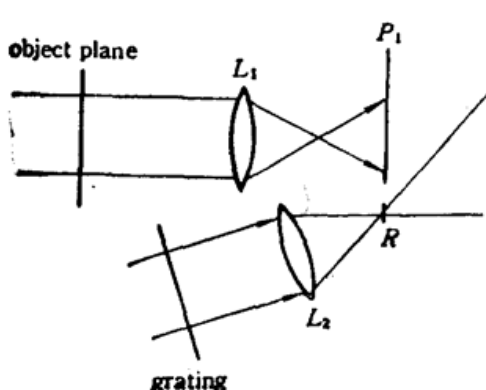


Fig. 1 Schematic of recording lensless Fourier transform holograms

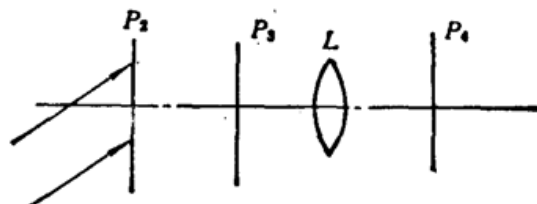


Fig. 2 Schematic of optical differentiation image reconstruction

用无透镜傅里叶变换全息进行光学微分时, 进行两次曝光, 一次记录准确像  $g_1(x, y)$ , 另一次记录离焦像  $g_2(x, y)$ , 两次参考点源位相差  $\pi$ 。

第一次曝光参考点源在全息图上 ( $P_2$  平面) 的复振幅分布为

$$R_1(x_2, y_2) = R_0 \exp \left[ \frac{-jk}{2z_1} x_2^2 \right] \exp \left[ \frac{-jk}{2z_1} (-2x_2 b + b^2) + y_2^2 \right] \quad (3)$$

物光在全息图上的复振幅分布为

$$O_1(x_2, y_2) = \iint g_1(x_1, y_1) \exp \left[ \frac{-jk}{2z_1} [(x_2 - x_1)^2 + (y_2 - y_1)^2] \right] dx_1 dy_1 \quad (4)$$

第二次曝光物光在全息图上的复振幅分布为

$$O_2(x_2, y_2) = \iint g_2(x_1, y_1) \exp \left[ \frac{-jk}{2z_1} [(x_2 - x_1)^2 + (y_2 - y_1)^2] \right] dx_1 dy_1 \quad (5)$$

参考光与  $R_1(x_2, y_2)$  位相差  $\pi$ :

$$R_2(x_2, y_2) = e^{i\pi} R_1(x_2, y_2) \quad (6)$$

在  $P_2$  平面上的光强分布与  $|O_1(x_2, y_2) + R_1(x_2, y_2)|^2$  和  $|O_2(x_2, y_2) + R_2(x_2, y_2)|^2$  成正比, 采用线性记录, 在全息图上的振幅透射率为

$$t(x_2, y_2) \propto O [ |R_1|^2 + |O_1|^2 + O_1 R_1^* + O_1^* R_1 + |R_2|^2 + |O_2|^2 + R_2^* O_2 + R_2 O_2^* ] \quad (7)$$

这里仅讨论原物光波再现项:

$$R_1^* O_1 + R_2^* O_2$$

当用平面波  $\exp[-jkbx_2/z_1]$  照明全息图后方的复振幅分布为

$$\begin{aligned} f(x_2, y_2) = B \exp \left[ \frac{jk}{2z_1} b^2 \right] & \left[ \iint_{-\infty}^{\infty} g_1(x_1, y_1) \exp \left[ \frac{-jk}{2z_1} (x_1^2 + y_1^2 - 2x_1 x_2 - 2y_1 y_2) \right] dx_1 dy_1 \right. \\ & \left. + e^{i\pi} \iint_{-\infty}^{\infty} g_2(x_1, y_1) \exp \left[ \frac{-jk}{2z_1} (x_1^2 + y_1^2 - 2x_1 x_2 - 2y_1 y_2) \right] dx_1 dy_1 \right] \end{aligned} \quad (8)$$

这里  $B$  总结了所有的常数, 在  $P_3$  平面上的复振幅分布为

$$G(x_3, y_3) = \int_{-\infty}^{\infty} \int f(x_2, y_2) \exp \left[ \frac{-ik}{2z_1} [(x_3 - x_2)^2 + (y_3 + y_2)^2] \right] dx_2 dy_2 \quad (9)$$

将(8)代入(9)式, 对  $dx_2, dy_2$  积分, 得

$$\begin{aligned} G(x_3, y_3) = & B' \left[ \int \int g_1(x_1, y_1) \exp \left[ \frac{ik}{z_1} (x_3 x_1 + y_3 y_1) \right] \cdot \exp \left[ \frac{-ik}{2z_1} (x_1^2 + y_1^2) \left( 1 - \frac{z_2}{z_1} \right) \right] dx_1 dy_1 \right. \\ & \left. + e^{i\pi} \int \int g_2(x_1, y_1) \exp \frac{ik}{z_1} (x_3 x_1 + y_3 y_1) \exp \left[ \frac{-ik}{2z_1} (x_1^2 + y_1^2) \left( 1 - \frac{z_2}{z_1} \right) \right] dx_1 dy_1 \right] \end{aligned} \quad (10)$$

当  $z_2 = z_1$  时,

$$\begin{aligned} G(x_3, y_3) = & B' \left[ \int \int g_1(x_1, y_1) \exp \left[ \frac{ik}{z_1} (x_1 x_3 + y_1 y_3) \right] dx_1 dy_1 \right. \\ & \left. + e^{i\pi} \int \int g_2(x_1, y_1) \exp \left[ \frac{ik}{z_1} (x_1 x_3 + y_1 y_3) \right] dx_1 dy_1 \right] \end{aligned} \quad (11)$$

(11)式表明在  $P_3$  平面上得到准确像和离焦像的频谱之差。下面分析离焦像的频谱。

已知在离焦情况下, 系统的相干传递函数<sup>[2]</sup>

$$H(f_x, f_y) = P(\lambda d_i f_x, \lambda d_i f_y) \exp[jkW(\lambda d_i f_x, \lambda d_i f_y)] \quad (12)$$

式中  $P(\lambda d_i f_x, \lambda d_i f_y)$  为光瞳函数, 其中

$$jkW(\lambda d_i f_x, \lambda d_i f_y) = j\pi \lambda d'_i \left( 1 - \frac{d_i}{d'_i} \right) (f_x^2 + f_y^2) \quad (13)$$

$d_i$  是光瞳到准确像的距离,  $d'_i$  是光瞳到离焦像的距离, 令  $b = \pi \lambda (d'_i - d_i)$ , 离焦像可用下式表示:

$$g_2(x_1, y_1) = \int \int G_1(f_x, f_y) \exp [jb(f_x^2 + f_y^2)] \exp [j2\pi(f_x x + f_y y)] df_x df_y \quad (14)$$

式中  $f_x = \frac{x_3}{\lambda z_1}, f_y = \frac{y_3}{\lambda z_1}$ , 当  $b$  较小时,

$$\begin{aligned} & \exp [jb(f_x^2 + f_y^2)] \approx 1 + jb(f_x^2 + f_y^2) \\ g_2(x_1, y_1) = & \int \int G_1(f_x, f_y) [1 + jb(f_x^2 + f_y^2)] \exp [j2\pi(f_x x + f_y y)] df_x df_y \end{aligned} \quad (15)$$

由(15)式可知离焦像的频谱为  $1 + jb(f_x^2 + f_y^2) G_1(f_x, f_y)$ , 在  $P_3$  平面上得到准确像与离焦像频谱之差为

$$G(f_x, f_y) = [1 + jb(f_x^2 + f_y^2)] G_1(f_x, f_y) - G_1(f_x, f_y) = e^{i\frac{\pi}{2}} b (f_x^2 + f_y^2) G_1(f_x, f_y) \quad (16)$$

(16)式表明离焦像与准确像频谱之差是物函数二阶光学微分的频谱, 在  $P_4$  平面上将得到二维二阶光学微分。

下面分析按照光路图 4 得到二阶光学微分的方法。参考点源  $R$  路全息图距离为  $z_1$ , 在  $P_2$  平面上的复振幅分布为

$$R(x_2, y_2) = R_0 \exp \left( -\frac{jk}{2z_1} x_2^2 \right) \exp \left[ \frac{-jk}{2z_1} (-2x_2 b + b) + y_2^2 \right] \quad (17)$$

物体若与  $R$  点源不在同一平面  $P_1$  上, 而在距全息图  $z_2 = z_1 + \Delta$  的  $P'_1$  平面上, 那么物光在全息图  $P_2$  平面上的复振幅分布为

$$O'(x_2, y_2) = A \int g(x_1, y_1) \exp \frac{-jk}{2z_1} [(x_2 - x_1)^2 + (y_2 - y_1)^2] dx_1 dy_1 \quad (18)$$

此处仅讨论原物光波项  $O'(x_2, y_2) \cdot R^*(x_2, y_2)$

$$\begin{aligned}
 O'(x_2, y_2) \cdot R^*(x_2, y_2) &= B \exp \frac{jk}{2z_1} (b^2 - 2x_2 b) \\
 &\cdot \int_{-\infty}^{\infty} g(x_1, y_1) \exp \frac{-jk}{2z_2} (x_1^2 + y_1^2 - 2x_1 x_2 - 2y_1 y_2) \\
 &\times \exp \frac{jk}{2} \left[ \frac{1}{z_1} - \frac{1}{z_2} \right] (x_1^2 + y_1^2) dx_1 dy_1
 \end{aligned} \tag{19}$$

当用平面波  $\exp \frac{jkbx_2}{z_1}$  照明全息图时, 在全息图后方的复振幅分布为

$$\begin{aligned}
 f(x_2, y_2) &= B \exp \frac{jk}{2z_1} b^2 \int_{-\infty}^{\infty} g(x_1, y_1) \exp \frac{-jk}{2z_2} (x_1^2 + y_1^2 - 2x_1 x_2 - 2y_1 y_2) \\
 &\cdot \exp \frac{jk}{2} \left[ \frac{1}{z_1} - \frac{1}{z_2} \right] (x_1^2 + y_1^2) dx_1 dy_1
 \end{aligned} \tag{20}$$

在距全息图  $z_1$  的  $P_3$  平面上的复振幅分布:

$$G_2(x_3, y_3) = \iint_{-\infty}^{\infty} f(x_2, y_2) \exp \left[ \frac{-ik}{2z_2} [(x_3 - x_2)^2 + (y_3 - y_2)^2] \right] dx_2 dy_2 \tag{21}$$

(20) 代入(21)式并对  $dx_2, dy_2$  积分:

$$\begin{aligned}
 G_2(x_3, y_3) &= B' \exp \left[ \frac{jk\Delta}{2z_1} (x_3^2 + y_3^2) \right] \iint g_1(x_1, y_1) \exp \left[ \frac{-jk}{2z_1} (x_1 x_3 + y_1 y_3) \right] dx_1 dy_1 \\
 &= B' \exp \left[ \frac{jk\Delta}{2z_1} (x_3^2 + y_3^2) \right] G_1(x_3, y_3)
 \end{aligned} \tag{22}$$

$B'$  总结了所有的常数, 当用空间频率坐标  $f_x = \frac{x_3}{\lambda z_1}, f_y = \frac{y_3}{\lambda z_1}$  代替  $x_3, y_3$ , 并且  $\Delta = z_2 - z_1$ ,

比较小时, (15)式可简化为如下形式:

$$G_2(f_x, f_y) = B' (1 + j\pi\lambda\Delta(f_x^2 + f_y^2)) G_1(f_x, f_y) \tag{23}$$

式中  $G_1(f_x, f_y)$  是准确像的频谱, 显然(23)与(15)式离焦像的频谱形式相同。我们用无透镜傅里叶变换全息进行光学微分的第二种方法是, 第一次曝光物与参考点源在同一平面  $P_1$  上, 第二次曝光物体沿  $z$  轴移动  $\Delta$ , 两次曝光参考点源位相差  $\pi$ 。用平面波  $\exp \frac{ik}{z_1} x_1 b$  照明这种双曝光所得到的全息图时, 如图 2 所示, 在  $P_3$  平面上得到两次曝光物函数的频谱之差:

$$G_2(f_x, f_y) - G_1(f_x, f_y) = e^{j\frac{\pi}{2}} B' \pi \lambda \Delta (f_x^2 + f_y^2) G_1(f_x, f_y) \tag{24}$$

在  $P_4$  平面上得到二阶光学微分。

### 三、实验装置及结果

全息图的记录光路如图 1 和图 3 所示, 图 1 即表示第一种方法, 通过光学系统把离焦像和准确像分布成在  $P_1$  平面上。图 3 表示第二种方法, 物体放在  $P_1$  平面上即成准确像, 物体沿  $z$  轴移动  $\Delta$ , 在  $P_4$  平面上形成离焦像。两次曝光参考点源位相差  $\pi$  是用在参考光路中加一个互补光栅——条纹互相错动半个周期的两个光栅, 由于两个互补光栅的正一级衍射之间位相差

(下转第 50 页)

由(18)式不难看出, 各阶光电子峰都具有双峰的结构, 若以  $\Delta_m$  为横坐标, 则双峰分别位于  $\Delta_m = \Delta_{\pm}$  处(与  $m$  无关), 其间隔  $\Delta = \Delta_+ - \Delta_- = \rho \cos \theta$ , 相应的半宽为  $\gamma_{\pm}$ 。由于峰的强度随阶数的增高按比例衰减, 所以总的说来高阶峰的双峰要比低阶峰的双峰宽。对于同阶的双峰来说, 其高度和宽度一般是不相同的, 这是因为从(19)式可看出, 无论  $\Delta_a \geq 0$  还是  $\Delta_a < 0$ ,  $\Delta_+$  总是大于  $\Delta_-$  的, 但当  $\Delta_a > 0$  时,  $|\gamma_+| > |\gamma_-|$ , 所以双峰中能量较高的峰比能量较低的峰宽(如图 2 所示); 当  $\Delta_a < 0$  时,  $|\gamma_+| < |\gamma_-|$ , 与  $\Delta_a > 0$  的情形正好相反(见图 3), 而当  $\Delta_a = 0$  时(即共振时),  $\gamma_+ = \gamma_-$ , 所以双峰是等宽等高的(如图 4 所示)。从图 5 的计算结果可知: 随着失谐量  $\Delta_a$  的增加, 双峰的不对称性就越明显。由此可推断出: 当远离共振(即  $\Delta_a$  较大)时, 光电子峰的双峰结构便会消失, 转变为单峰结构。

### 3.3 各阶光电子峰的物理解释

由(18)式不难看出: 各阶光电子峰都具有相类似的结构, 这是因为各阶光电子峰的表达式中分母都含有因式  $(\Delta_m - \Delta_+ - i\gamma_+)(\Delta_m - \Delta_- - i\gamma_-)$ 。我们知道,  $\Delta_{\pm}$  和  $\gamma_{\pm}$  分别是由频率为  $\Omega$  的激光场与原子相互作用产生的缀饰态的能级和能级宽度, 而各阶光电子峰是频率为  $\omega$  的激光场诱导缀饰态向各连续态跃迁的结果。相临阶的光电子峰之间的间隔为  $\omega$ ,  $\Delta_{\pm}$  可确定各阶峰的位置, 而  $\gamma_{\pm}$  的大小反映了光电子峰的宽度。

## 参 考 文 献

- 1 P. E. Coleman, P. L. Knight, *J. Phys. B*, **14**, 2139(1981)
- 2 P. L. Knight, *J. Phys. B*, **12**, 3297(1979)
- 3 Z. Deng et al., *J. Opt. Soc. Am. B*, **2**, 486(1985)
- 4 J. Grochmalick et al., *J. Phys. B*, **19**, 3649(1986)
- 5 A. Dulcic, *Phys. Rev. A*, **35**, 1673(1987)
- 6 Z. Bialynicka-Birula, *J. Phys. B*, **17**, 3091(1984)
- 7 Z. Deng et al., *Phys. Rev. A*, **34**, 2492(1986)

(上接第 70 页)

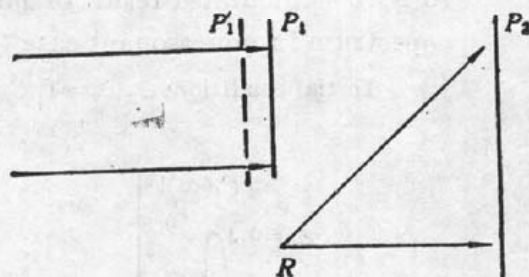


Fig.3 Recording geometry of the second method



Fig.4 Experimental results  
(a) object; (b) optical differentiation

$\pi$ , 因此, 在两次曝光中分别取互补光栅之一做正一级衍射做参考光源, 即可得到两次曝光位差  $\pi$ 。图 4 表示微分结果。

## 参 考 文 献

- 1 S. K. Yao, S. H. Lee, *JOSA*, **61**, 474(1971)
- 2 黄婉云, 傅里叶光学教程, 北京师范大学出版社, 北京, 1985, 182~183